УДК 552.33 (571.5) +548.4

ПЕТРОГРАФИЯ

л. и. панина, в. с. шацкий

ВКЛЮЧЕНИЯ РАСПЛАВОВ В МАГНЕТИТ-АПАТИТОВЫХ ПОРОДАХ КАРБОНАТИТОВОЙ ИНТРУЗИИ ЕССЕЙ

(Представлено академиком В. С. Соболевым 15 XI 1971)

В последние годы при экспериментальном выяснении *РТ*-условий формирования природных карбонатитов большое значение начали придавать сопутствующим минералам, в первую очередь апатиту и форстериту. Это объясняется двумя причинами: спецификой формирования магматических карбонатитов и малой эффективностью применения методов термометрии для исследования карбонатных минералов (1). Для магматических карбонатов возможно присутствие только раскристаллизованных включений расплавов. Стекловатых включений в них не должно быть, поскольку в природе отсутствует карбонатное стекло. Не исключено, конечно, нахождение в карбонатах вторичных стекловатых включений некарбонатного состава, захваченных на поздних стадиях кристаллизации карбонатов при резкой смене химического состава минералообразующей среды.

Потенциально существующие раскристаллизованные включения, в свою очередь, подобно натрово-кабонатитовым лавам (2), под действием окружающего воздуха и воды могут разлагаться и становиться непригод-

ными для термометрического исследования.

Кроме всего сказанного выше, карбонатные минералы при высоких температурах эксперимента растрескиваются по спайностям, герметичность большинства включений нарушается. При нагревании карбонаты буреют и к 700—800° становятся полностью непрозрачными.

Для сопутствующих минералов все отмеченные недостатки не характерны, и они являются благоприятными для выяснения генетической

природы карбонатитов минералотермометрическими методами.

Оливин и особенно апатит относятся к типоморфным минералам карбонатитов и ультраосновных — щелочных пород. Апатит встречен в пирокластических ийолитовых породах натрово-карбонатитового вулкана Олдоиньо-Ленгаи (²), образует тонкие слои в эффузивных аггломератах и пепла вулканического конуса Калуве (³), вместе с форстеритом и магнетитом присутствует в карбонатитовых дайках Якупиранги (4) и Кайзерштуля (5), слагает широкие кольцевые зоны вокруг карбонатитового ядра в массивах Лулекоп (6) и Ессей (7), образует штокообразные тела и жилы в некоторых ультраосновных — щелочных массивах Кольского полуострова (8). Относительно несомненной генетической связи карбонатитов с магнетит-апатитовыми и форстерит-апатит-магнетитовыми породами мнения исследователей единодушны (9).

Нами изучены магнетит-апатитовые и форстерит-магнетит-апатитовые породы карбонатитовой интрузии Ессей, расположенной на юге Маймеча-Кожуйской ультраосновной — щелочной провинции. Массив приурочен к пересечению глубинных разломов субмеридионального и северозападного простирания, сложен преимущественно карбонатитами и магнетит-апатитовыми породами. Последние образуют крупное полукольцевое тело, тяготеющее к центру интрузии, и имеют четкие контакты с карбонатитами. Форстерит в магнетит-апатитовых образованиях по-

является только на их контакте с эпизодически встречаемыми блоками

ультраосновных и щелочных пород.

Магнетит-апатитовые и форстерит-магнетит-апатитовые образования макроскописчески не отличаются друг от друга. Структура их мелкосреднезернистая, текстура массивная, полосчатая, пятнистая. Оливин в породе наиболее идиоморфен, апатит аллотриоморфен, зерна магнетита изометричны. Количественные соотношения между минералами непостоянны, но апатит всегда пребладает. Оптические константы следующие: для апатита $N_0'=1.645-1.647$; для форстерита $N_g'=1.693-1.695$, $N_p'=1.657-1.659$, $2V=88^\circ$. Данные химического анализа магнетитапатитовой породы таковы (10): SiO₂ 0.30; TiO₂ сл.; Al₂O₃ 1.40; Fe₂O₃ 1.7.14; FeO 0.06; F 0.80; CaO 42, 45; MgO 0.04; MnO 0.07; NaO 0.15; P_2O_5 31,38; H_2O_{06m} 3.56; CO₂ 2.68%.

При помощи методов минералотермометрии нами изучались апатит и оливин. Для исследования оливина применялась микротермокамера с инертным газом конструкции А. И. Чепурова и Н. П. Похиленко *.

Апатит исследовался из обеих разновидностей пород: магнетитапатитовой и форстерит-магнетит-апатитовой. Обнаруженные включения по форме, величине, агрегатному состоянию и температурам гомогенизации в обоих случаях одинаковы. Это позволяет считать магнетитапатитовые и форстерит-магнетит-апатитовые породы продуктами одного и того же процесса.

В апатите обнаружены две группы включений: первичные расплавные и вторичные газово-жидкие. Включения расплава стекловатые однофазовые («закаленное» стекло) и двухфазовые (creкио + газ). Расположены бессистемно, встречаются поодиночке. Размером они в тысячные доли миллиметра, форма включений негативная или изометричная (рис. 1A). Размягчение стекла начиналось в интервале 800—900°. При этих же температурах происходило обособление газового пузырька в «закаленных» включениях. При более высоких температурах газовый пузырь перемещался в вакуоли и начиналось изменение формы последних. Полость включения увеличивалась в размерах и приобретала неправильные очертания (рис. 1А, 2, 3). При охлаждении первоначальные форма и размеры включения никогда не восстанавливались, газовый лузырь либо совсем не появлялся, либо отмечался в том же объеме. При повторных экспериментах температура гомогенизации оставалась прежней. Характерно, что во всех включениях при температуре выше 1000° резко повышалось давление летучих, быстрое повышение температуры всегда влекло за собой мгновенную разгерметизацию включений. Гомогенизация магматических включений осуществлянась в расплав при 1140—1170°.

Вторичных включений (газ + жидкость, газ + жидкость + твердая фаза) в апатите очень много (рис. 1В). Они равномерно распределены по всему минералу, полости их ориентированы в одном направлении (рис. 1В, 1). Размер включений от сотых до тысячных долей миллиметра, форма негативная, трубчатая, неправильная. Среди трехфазовых включений выделяются две разновидности: включения с одной-двумя прозрачными ограненными твердыми фазами и включения, содержащие множество пеограненных твердых фаз темно-бурого цвета. Растворение первых начиналось при 70—80°, вторых — около 150°. Гомогенизация осуществлялась в жидкость при 260—520 и 730—740° соответственно. Двухфазовые включения гомогенизировались в жидкость при 80—380°.

В оливине встречены вторичные включения расплава двух генераций: 1. Стекловатые — однофазовые («закаленное» стекло) и двух-

^{*} Конструкция камеры допускает погрешность при измерении температуры гомогенизации включений $\pm 20^\circ$.

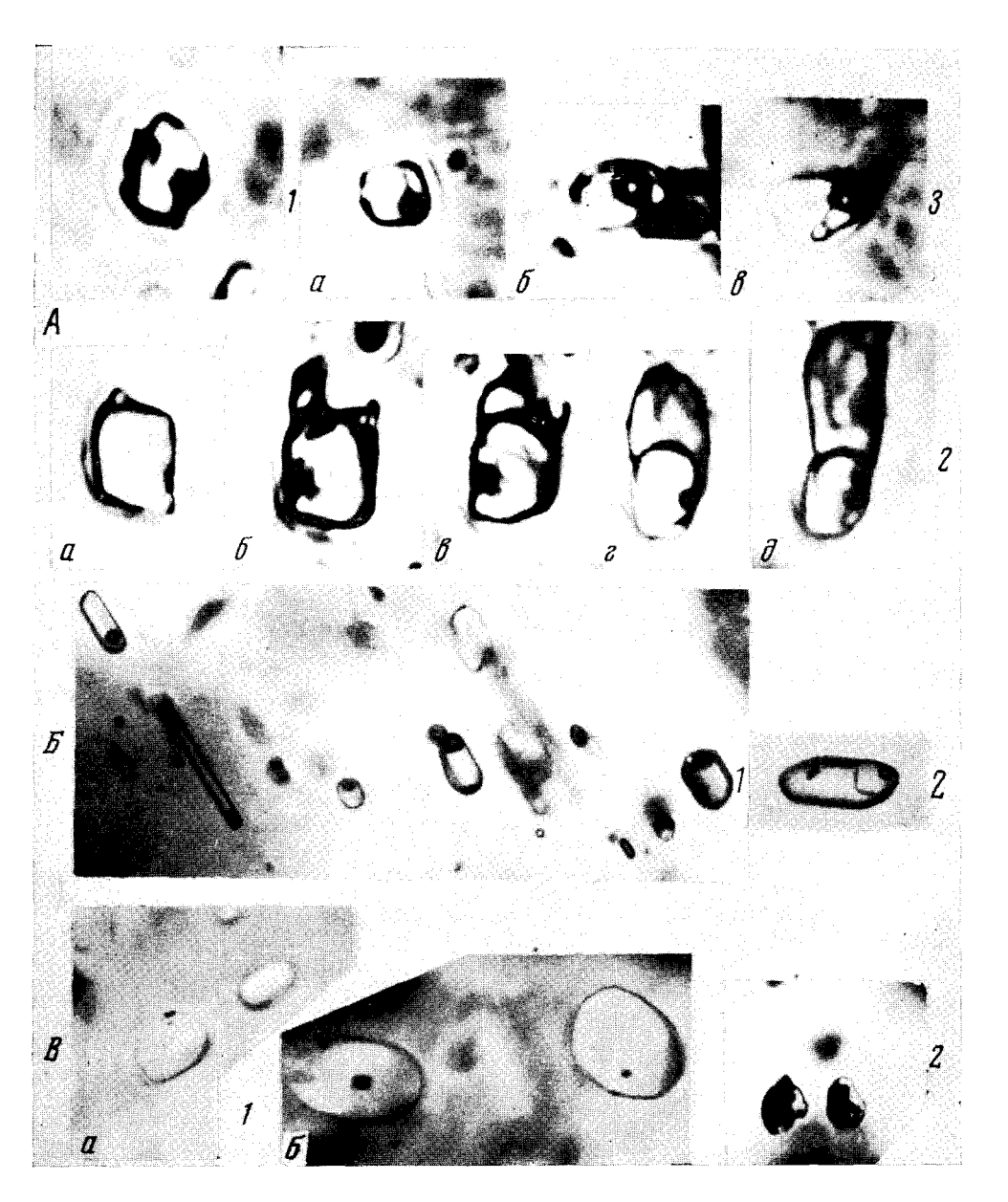


Рис. 1. A — первичные включения расплава в апатите $(2200 \times)$: I — двухфазовое (стекло + газ), снято при комнатной температуре; 2 — однофазовое («закаленное» стекло), изменение формы и размеров полости включения при нагревании (a — снято при комнатной температуре, δ — при 950° , e — при 1000° , e — при 1060° , e — при 1

фазовые (стекло + газ) включения (рис. 1B, 1). Они встречаются групнами и приурочены к трещинам, появившимся во время роста минерала. Размер их от десятых до тысячных долей миллиметра, форма овальная неправильная. Размягчение стекла начиналось при $850-900^{\circ}$, полное расплавление твердой фазы наблюдалось при 1100° . Гомогенизация осуществлялась в расплав при $1280\pm20^{\circ}$. 2. Частично раскристаллизованные включения расплава (прозрачное стекло + темная кристаллическая фаза + газ, рис. 1B, 2). Они расположены цепочками, контролирующими позднейшие трещинки в минерале. Форма у них изометричная, размеры — сотые и тысячные доли миллиметра. Гомогенизировать эти включения пе удалось из-за разгермстизации их при высоких температурах (включения взрывались).

Данные минералотермометрического исследования свидетельствуют о том, что формирование магнетит-апатитовых и форстерит-магнетит-апатитовых пород происходило из одного магматического очага, в одну и ту же магматическую стадию. Магматит-апатитовый расплав был существенно обогащен летучими компонентами. Температурный интервал кристаллизации минералов был небольшим: оливин кристаллизовался при $1280 \pm 20^{\circ}$, апатит — при $1470 - 1140^{\circ}$. Охлаждение расплава проис-

ходило быстро, гидротермальные процессы протекали при 730-260°.

Этим данным не противоречат результаты экспериментальных исследований синтетической системы $CaO-CO_2-H_2O$ (11) и $CaO-P_2O_5-CO_9-H_9O$ (12).

Полученные впервые прямые доказательства формирования из расплава природных магнетит-апатитовых и форстерит-магнетит-апатитовых пород служат дополнительным подтверждением возможности существования природной карбонатитовой магмы, так как на многих подобных массивах формирование магнетит-апатитовых пород происходило позжестановления карбонатитов (3). Температуры раскристаллизации карбонатитовой магмы не должны, по-видимому, памного отличаться от температур кристаллизации магнетит-апатитового расплава.

Гипотетический магнетит-апатитовый расплав мог, вероятно, отделиться путем ликвации либо от карбонатитового расплава, либо от

исходного ультраосновного — щелочного.

Институт геологии и геофизики Сибирского отделения Академии наук СССР Новосибирск Поступило 5 XI 1971

ЦИТИРОВАННАЯ ЛИТЕРАТУРА

¹ Т. Ю. Базарова, ДАН, 161, № 5 (1965). ² Дж. Б. Даусон, В сбори. Карбонатиты, М., 1969, стр. 169. ³ Д. К. Бейли, там же, стр. 142. ⁴ Ж. С. Мельшер, там же, стр. 182. ⁵ В. Виммепауер, там же, стр. 195. ⁶ Д. Гиттинс, там же, стр. 359. ⁷ В. З. Шувалова, Г. И. Поршнев, Э. А. Лапда, В сбори. Карбонатиты и щелочные породы Севера Сибири, Л., 1970. ⁸ Л. С. Бородин, Докл. на XXI сессии Международн. геологич. конгр., Копентаген, 1960, М., 1960. ⁹ Ю. Л. Канустии, Минералогия карбонатитов, «Наука», 1971. ¹⁰ Э. А. Лапда, В сбори. Карбонатиты и щелочные породы Севера Сибири, Л., 1970. ¹¹ Р. Ј. Wyllie, О. F. Tuttle, J. Petrol., № 1 (1960). ¹² П. Дж. Уилли, В сбори. Карбонатиты, М., 1969. стр. 265.